

## Оптическое поглощение кристаллов КТР в диапазоне 0.9–2.5 мкм при воздействии $\gamma$ -излучения

М.В.Алампиев, О.Ф.Бутягин, Н.И.Павлова

*Отмечено появление дополнительного поглощения в кристалле КТР в диапазоне 0.9–1.4 мкм под воздействием  $\gamma$ -излучения с дозами до  $5 \cdot 10^7$  Р; в диапазоне 1.4–2.5 мкм дополнительное поглощение не наблюдалось. Рассмотрены характеристики параметрической генерации света на кристалле КТР, подвергнутом воздействию  $\gamma$ -излучения при накачке излучением импульсного ИАГ:Nd<sup>3+</sup>-лазера с длиной волны 1.064 мкм.*

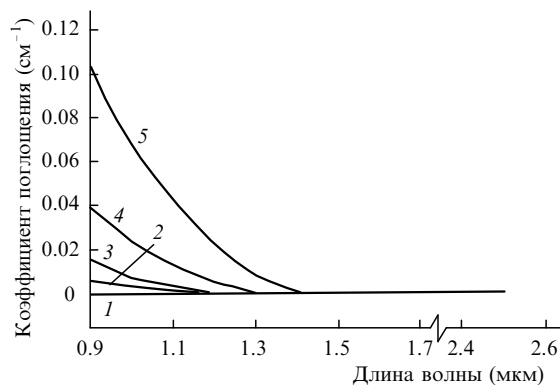
**Ключевые слова:** оптическое поглощение, кристаллы КТР,  $\gamma$ -облучение.

Исследованию влияния ионизирующих излучений на оптическое поглощение кристалла КТiОРО<sub>4</sub> (КТР) в видимом диапазоне и на генерацию в нем второй гармоники ИАГ:Nd<sup>3+</sup>-лазера посвящен ряд работ [1–4]. Было показано, что под влиянием ионизирующих излучений в кристалле КТР возникают центры окраски, имеющие широкие полосы поглощения с максимумами в интервалах 0.38–0.44 и 0.5–0.6 мкм. Дополнительное поглощение на длине волны второй гармоники 0.532 мкм ИАГ:Nd<sup>3+</sup>-лазера вызывает снижение эффективности преобразования и лучевой прочности элемента из КТР.

В настоящей работе исследуется влияние  $\gamma$ -излучения на оптическое поглощение кристалла КТР в диапазоне 0.9–2.5 мкм и на параметрическую генерацию света (ПГС) при накачке излучением импульсного лазера на ИАГ:Nd<sup>3+</sup> с модуляцией добротности.

В эксперименте был использован непросветленный элемент длиной 15 мм из кристалла КТР, выращенного методом кристаллизации из раствора в расплаве [5]. Элемент был вырезан по направлению фазового синхронизма для вырожденного режима ПГС при накачке излучением ИАГ:Nd<sup>3+</sup>-лазера с  $\lambda = 1.064$  мкм. Этот режим имеет место в кристалле КТР, вырезанном под углом 53° к оптической оси  $z$  в плоскости  $xz$  ( $\vartheta = 53^\circ$ ,  $\varphi = 0$ ), длина волны генерации при этом составляет 2.12 мкм [6]. Элемент подвергался воздействию  $\gamma$ -излучения источника <sup>60</sup>Со на установке РХ- $\gamma$ -30 с энергией  $\gamma$ -квантов 1.25 МэВ при мощности дозы 250 Р/с и температуре  $28 \pm 5^\circ\text{C}$ .

Коэффициент пропускания элемента измерялся в диапазоне длин волн 0.9–2.5 мкм с помощью спектрофотометра СФ-20. Измерения проводились через несколько часов после воздействия  $\gamma$ -излучения, так что учитывалось влияние только долгоживущих центров окраски [1, 2]. Полученные зависимости дополнительного поглощения  $\delta$  в диапазоне 0.9–2.5 мкм для различных доз  $\gamma$ -излучения  $D$ , рассчитанные из спектров пропускания, приведены на рисунке. Погрешность определения  $\delta$  составляла  $0.007 \text{ см}^{-1}$ .



Спектральные зависимости коэффициента дополнительного оптического поглощения  $\delta$  в кристалле КТР для доз  $\gamma$ -излучения  $D = 2.9 \cdot 10^3$  (1),  $10^4$  (2),  $10^5$  (3),  $10^6$  (4) и  $5 \cdot 10^7$  Р (5).

Как видно из рисунка, дополнительное оптическое поглощение на  $\lambda = 0.9$  мкм появляется начиная с  $D = 10^4$  Р, увеличивается с ростом  $D$  и при  $D = 5 \cdot 10^7$  Р регистрируется уже в диапазоне 0.9–1.4 мкм. Экспериментальные данные показывают, что возникающие в видимой области под действием  $\gamma$ -излучения широкие полосы дополнительного поглощения, вызывающие окрашивание образца [1–4] и имеющие максимум в диапазоне 0.5–0.6 мкм, равный  $0.15 \text{ см}^{-1}$ , захватывают своими краями также и область 0.9–1.4 мкм. При  $D = 5 \cdot 10^7$  Р на длине волны накачки 1.064 мкм  $\delta = 0.05 \text{ см}^{-1}$ , что на  $0.1 \text{ см}^{-1}$  меньше наведенного поглощения в видимом диапазоне. В диапазоне 1.4–2.5 мкм, в том числе на длине волны генерации 2.12 мкм, дополнительное поглощение с учетом погрешности измерений зарегистрировано не было.

Полученные зависимости  $\delta$  от длины волны для разных  $D$  позволяют оценить влияние  $\gamma$ -облучения элемента на процесс ПГС в ИК диапазоне, т. к. от поглощения на длинах волн накачки и генерации зависят пороговая интенсивность накачки  $I_{\text{п}}$  и эффективность ПГС [7].

Влияние дополнительного поглощения на характеристики ПГС определялось для параметрического генератора с длиной резонатора 25 мм, установленного вне резонатора лазера накачки и образованного плоскими зеркалами с коэффициентами отражения 99.5% на  $\lambda = 2.12$

мкм для входного зеркала и 90% – для выходного. Излучение многомодового ИАГ:Nd<sup>3+</sup>-лазера с электрооптической модуляцией добротности, длиной волны 1.064 мкм, длительностью импульса 18 нс и частотой повторения импульсов 12.5 Гц фокусировалось линзой с фокусным расстоянием 1 м в элемент из кристалла КТР. Коэффициенты отражения зеркал параметрического генератора на длине волны накачки составляли 8%; во избежание возникновения обратной связи зеркала были разъюстированы относительно направления распространения пучка накачки на угол порядка нескольких минут. Погрешность измерения  $I_{th}$  составляла  $\pm 20\%$ .

Для такой внрезонаторной схемы ПГС появление дополнительного поглощения  $\delta = 0.05 \text{ см}^{-1}$  на длине волны накачки при максимальной дозе излучения  $5 \cdot 10^7 \text{ Р}$  приводит к росту  $I_{th}$  не более чем на 7%. Для расчета влияния дополнительного поглощения на длине волны генерации на  $I_{th}$  были использованы приближенные соотношения из [7]. Степень влияния дополнительного поглощения на длине волны генерации зависит от режима ПГС и определяется суммой пассивных и нестационарных потерь в генераторе. Для данного режима работы нестационарные потери равны  $0.2 \text{ см}^{-1}$  и существенно превышают пассивные потери, вызванные дополнительным поглощением. Дополнительному поглощению, равному  $0.007 \text{ см}^{-1}$ , на длине волны генерации соответствует увеличение  $I_{th}$  на 5%. В то же время для стационарной ПГС при том же  $\delta$  интенсивность  $I_{th}$  должна вырасти на 17%.

Таким образом, наблюдаемое при воздействии  $\gamma$ -излучения с  $D = 5 \cdot 10^7 \text{ Р}$  дополнительное оптическое поглощение в кристалле КТР на длинах волн накачки и генерации не должно приводить к росту  $I_{th}$  более чем на 12%. Поскольку соотношения в [7] были получены при большом числе упрощающих предположений, экспериментальное  $I_{th}$  может отличаться от расчетного. В пределах погрешности измерений  $I_{th}$  с ростом  $D$  не увеличивается и составляет  $100 \pm 20 \text{ МВт/см}^2$  как для облученного, так и для необлученного элемента; эффективность преобразования остается одинаковой.

Это позволяет также сделать вывод о том, что при ГВГ излучения лазеров с длиной волны  $\sim 2 \text{ мкм}$  эффективность преобразования в кристалле КТР не будет заметно снижаться при воздействии доз  $\gamma$ -излучения до  $5 \cdot 10^7 \text{ Р}$ . В то же время воздействие ионизирующих излучений на кристалл КТР влияет на эффективность преобразования при использовании кристалла в качестве генератора гармоник лазеров с длиной волны  $\sim 1 \text{ мкм}$  [1], а также на характеристики активных элементов из ИАГ:Nd<sup>3+</sup> при накачке импульсными лампами [8].

Вопрос о влиянии  $\gamma$ -излучения на ПГС требует дальнейшего изучения, т. к. ПГС в высокодобротных резонаторах при накачке квазинепрерывными лазерами или при внутриврезонаторной генерации [9] более чувствительна к дополнительному поглощению на длинах волн накачки и генерации.

Авторы выражают благодарность С.Э.Дьячкову за помощь при проведении экспериментов.

1. Ангерт Н.Б., Гармаш В.М., Павлова Н.И., Тарасов А.В. *Квантовая электроника*, **18**, 470 (1991).
2. Карасева Л.Г., Андреев Б.В., Громов В.В., Захаркин Б.И., Павлова Н.И. *ДАН СССР*, **289**, 1152 (1986).
3. Andreev B.V., Efimov V.N. *Mod.Phys.Letts B*, **6**, 177 (1992).
4. Halliburton L.E., Scripsick M.P. *Proc.SPIE*, **2379**, 235 (1995).
5. Булка Г.Р., Бутягин О.Ф., Ермаков Г.А., Павлова Н.И., Харциева Т.Н. *Лазерная техника и оптоэлектроника*, № 1–2 (62–63), 69 (1992).
6. Lin J.T., Montgomery J.L. *Optics Comms*, **75**, 315 (1990).
7. Дмитриев В.Г., Кулевский Л.А. В кн. *Справочник по лазерам* (М., Сов.радио, 1978, т. 2, с. 319).
8. Малов Н.А., Рябов А.И., Насельский С.П., Торопкин Г.Н., Швом Е.М., Усольцев И.Ф. *Квантовая электроника*, **10**, 1067 (1983).
9. Oshman M.K., Harris S.T. *IEEE J.Quantum Electron.*, **4**, 491 (1968).

**M.V.Alampiev, O.F.Butyagin, N.I.Pavlova. Optical absorption of gamma-irradiated KTP crystals in the 0.9–2.5- $\mu\text{m}$  range.**

Additional absorption was observed in the 0.9–2.5- $\mu\text{m}$  range in a KTP crystal irradiated by gamma rays with doses up to  $5 \times 10^7 \text{ R}$ . No additional absorption was observed in the 1.4–2.5- $\mu\text{m}$  range. Characteristics of optical parametric oscillation in a gamma-irradiated KTP crystal pumped by a pulsed Nd<sup>3+</sup>:YAG laser at 1.064  $\mu\text{m}$  were studied.